



University of Guilan
Faculty of Agricultural Sciences

Cereal Research
Vol. 13, No. 3, Autumn 2023 (249-268)
doi: 10.22124/CR.2024.26392.1805
pISSN: 2252-0163 eISSN: 2538-6115



RESEARCH PAPER

OPEN ACCESS

Genome wide identification and characterization of strictosidine synthase-like (*SSL*) genes in wheat (*Triticum aestivum* L.)

Mohammad Hossein Rezadoost^{1*} and Amin Abedi²

1. Assistant Professor, Department of Agricultural Biotechnology, Faculty of Agricultural Sciences, University of Guilan, Rasht, Iran (*Corresponding author: rezadoostmh@guilan.ac.ir)
2. Graduate Ph.D., Department of Agricultural Biotechnology, Faculty of Agricultural Sciences, University of Guilan, Rasht, Iran

Comprehensive abstract

Introduction

Wheat (*Triticum aestivum* L.) is globally recognized as a crucial food crop. Due to the significant increase in human population in recent years, there is a need for food production to match population growth, especially for primary crops like wheat. Given the decline in wheat cultivation and yield caused by biotic and abiotic stresses, the cultivation of stress-resistant varieties is a cost-effective and fundamental strategy to mitigate their adverse impacts. Identifying resistance genes is essential for developing new resistant varieties using breeding programs. Strictosidine synthase-like (*SSL*) genes with a length of approximately 400 amino acids, play a role in plant immunity regulation and possess an extracellular structural domain resembling animal hemomyosin. Previous studies have shown that all categories of *AtSSL* genes exhibit a response to various biotic and abiotic stressors. At present, our major understanding of the *SSL* gene family in plants is primarily based on research conducted on *Arabidopsis thaliana*. In this study, bioinformatics tools were used to explore the evolutionary relationships and functional roles of the *SSL* gene family in wheat.

Materials and methods

In the first step, the sequence of *SSL* proteins from rice and *Arabidopsis* was used to identify genes encoding wheat *SSL* in the Ensembl Plants database by the PlastP algorithm. Next, phylogenetic relationships were analyzed by MEGA7, the exon-intron structure and intron phase using the Gene Structure view in TBtools-II, and conserved motifs with Multiple Em for Motif Elicitation. Additionally, *cis*-regulatory elements in the promoter region, gene duplication events, and selection pressure were investigated through PlantCare and the Simple Ka/Ks Calculator in TBtools-II. The expression profiles of *TaSSL* genes in response to abiotic stresses were analyzed using the expVIP server. All analyses were conducted using default parameters of the software and servers.

Research findings

This study identified 69 *SSL* genes in the wheat genome, exhibiting a non-uniform distribution across chromosomes. The evolutionary study of this family revealed two main phylogenetic groups in the *SSLs* of different organisms: The first group (I), encompassing exclusively wheat and rice *SSLs* genes, and the second group (II), containing genes from diverse organisms. Further subdivision of group II into three subgroups (A, B, and C) highlighted potential functional divergence among members. The analysis of conserved motifs, gene structure, and intron phase indicated a high degree of conservation for these genes. Furthermore, segmental duplication emerged as the primary driver of wheat *SSL* gene expansion, and these duplicated genes experiencing strong negative selection pressure. The presence of *cis*-regulatory elements responsive to hormones and stresses suggests



intricate regulation of *TaSSL* gene expression. Consistent with this notion, RNA-seq data revealed the inducible expression of *TaSSL* genes in response to abiotic stresses, including cold, heat, drought, and PEG.

Conclusion

The presence of a distinct evolutionary cluster of wheat *SSL* genes, characterized by features typically associated with stress-responsive genes such as a low number of introns, the application of negative selection pressure, the presence of regulatory elements responsive to stresses and hormones, as well as the expression patterns of *TaSSL* genes in response to abiotic stresses indicated their significant role in wheat's stress response mechanisms. Consequently, the findings of this study can provide valuable insights into the functions of *TaSSL* genes, facilitating the identification of potential candidates for producing stress-resistant wheat varieties in future breeding programs.

Keywords: Abiotic stress, Duplication, Evolution, Gene function, *In silico*

Received: October 24, 2023

Accepted: December 08, 2023

Cite this article:

Rezadoost, M. H., & Abedi, A. (2023). Genome wide identification and characterization of strictosidine synthase-like (*SSL*) genes in wheat (*Triticum aestivum* L.). *Cereal Research*, 13(3), 249-268. doi: [10.22124/CR.2024.26392.1805](https://doi.org/10.22124/CR.2024.26392.1805).



شناسایی و مطالعه ویژگی‌های خانواده ژنی شبه استریکتوسیدین سینتاز (SSL) در گستره ژنوم گندم (*Triticum aestivum L.*)

محمدحسین رضادوست^{۱*} و امین عابدی^۲

۱- استادیار، گروه بیوتکنولوژی کشاورزی، دانشکده علوم کشاورزی، دانشگاه گیلان، رشت ایران (*نویسنده مسئول:
rezadoostmh@gilan.ac.ir)

۲- دانشآموخته دکتری، گروه بیوتکنولوژی کشاورزی، دانشکده علوم کشاورزی، دانشگاه گیلان، رشت، ایران

چکیده جامع

مقدمه: گندم (*Triticum aestivum L.*) در سطح جهانی به عنوان یک محصول غذایی مهم شناخته شده است. با توجه به افزایش قابل توجه جمعیت، نیاز به تولید مواد غذایی مناسب با رشد جمعیت، به ویژه برای محصولات اصلی مانند گندم وجود دارد. با توجه به کاهش کشت و عملکرد گندم در اثر تنش‌های زیستی و غیرزیستی، کشت رقم‌های مقاوم به تنش‌ها مقرنون به صرفه‌ترین و اساسی‌ترین رویکرد برای خنثی کردن اثرات منفی این عوامل است. برای دستیابی به این هدف، شناسایی ژن‌های مقاوم به عنوان زیربنای ایجاد رقم‌های مقاوم جدید از طریق برنامه‌های به نژادی ضروری است. ژن‌های شبه استریکتوسیدین سینتاز (SSL)، دمین ساختاری خارج سلولی مشابه با همومیوسین جانوری داشته و با طولی در حدود ۴۰۰ اسید آمینه، در تنظیم ایمنی گیاهان نقش دارند. مطالعات قبلی نشان داده‌اند که همه ژن‌های *AtSSL* در پاسخ به تنش‌های مختلف زیستی و غیرزیستی نقش دارند. با این حال، عدمه درک ما از خانواده ژنی SSL در گیاهان فقط بر اساس تحقیقات انجام شده روی آرابیدوپسیس تالیانا به دست آمده است. در این مطالعه، از ابزارهای بیوانفورماتیک به منظور رمزگشایی روابط تکاملی و نقش کارکردی خانواده ژنی SSL در گندم استفاده شد.

مواد و روش‌ها: در اولین مرحله، توالی پروتئین‌های SSL برنج و آرابیدوپسیس از طریق الگوریتم PlastP به منظور شناسایی ژن‌های کد کننده SSL گندم در پایگاه داده Ensembl Plants مورد استفاده قرار گرفت. در ادامه روابط فیلوزنیک با MEGA7، ساختار اگرون-اینترون و فاز اینترونی با Gene Structure view in TBtools-II و موتیفهای حفاظت شده با TBtools-II Simple Ka/Ks Calculator و PlantCare قرار گرفت. بررسی پروفایل بیان ژن‌های *TaSSL* در پاسخ به تنش‌های غیرزیستی نیز با استفاده از سرور expVIP انجام گرفت. در تمامی تجزیه‌ها از پارامترهای پیش‌فرض استفاده شد.

یافته‌های تحقیق: بر اساس نتایج این مطالعه، ۶۹ ژن SSL در گستره ژنوم گندم یافت شد که به صورت غیر یکنواخت روی کروموزوم‌های متفاوت قرار گرفته بودند. مطالعه تکاملی این خانواده نشان داد که SSL‌های موجودات مختلف در دو گروه فیلوزنیک اصلی قرار می‌گیرند. گروه اول (I)، فقط شامل ژن‌های SSL گندم و برنج بود و در گروه دوم (II)، ژن‌های موجودات مختلف قرار گرفتند. گروه دوم خود به سه زیرگروه A، B و C تقسیم شد و اعضای هر گروه از نظر کارکرد می‌توانند متفاوت باشند.

باشد. تجزیه و تحلیل موتیف‌های حفاظت‌شده، ساختار ژنی و فاز اینترونی، حفاظت‌شده بالای این ژن‌ها را نشان داد. از سوی دیگر، مضاعف‌شده سگمنتال عامل اصلی بسط ژن‌های *SSL* گندم بود و ژن‌های مضاعف‌شده تحت فشار گرینش منفی شدید قرار داشتند. وجود عناصر تنظیمی *Cis* پاسخ به هورمون‌ها و تنش‌ها نشان می‌دهد که تنظیم بیان ژن‌های *TaSSL* بسیار پیچیده است. از سوی دیگر، بررسی پروفایل بیانی ژن‌های *TaSSL* در پاسخ به تنش‌های غیرزیستی بر اساس داده‌های RNA-seq نشان داد که این ژن‌ها در اثر تنش‌های سرما، گرما، خشکی و PEG القاء می‌شوند که در راستای وجود عناصر تنظیمی *Cis* پاسخ به هورمون‌ها و تنش‌ها هستند.

نتیجه‌گیری: وجود گروه تکاملی اختصاصی ژن‌های *SSL* گندم در کنار ویژگی‌های مربوط به ژن‌های پاسخ به تنش مانند تعداد کم اینترون، فشار گرینش منفی اعمال شده بر آن‌ها، وجود عناصر تنظیمی پاسخ به تنش‌ها و هورمون‌ها و نیز الگوی بیان ژن‌های *TaSSL* در پاسخ به تنش‌های غیرزیستی نشان داد که این ژن‌ها نقش مهمی در پاسخ گندم به تنش‌ها دارند. یافته‌های این تحقیق می‌تواند به درک نقش ژن‌های *TaSSL* کمک کند و منجر به شناسایی ژن‌های بالقوه بهمنظور ایجاد رقم‌های گندم مقاوم به تنش در برنامه‌های بهنژادی آینده شود.

واژه‌های کلیدی: این سیلیکو، تکامل، تنش غیرزیستی، کارکرد ژن، مضاعف‌شده

تاریخ پذیرش: ۱۴۰۲/۰۹/۱۷

تاریخ دریافت: ۱۴۰۲/۰۸/۰۲

نحوه استناد به این مقاله:

رضادوست، محمدحسین، و عابدی، امین. (۱۴۰۲). شناسایی و مطالعه ویژگی‌های خاتواده ژنی شبه استریکتوسیدین سینتاز (*SSL*) در گستره ژنوم گندم (*Triticum aestivum* L.). *تحقیقات غلات*, ۱۳(۳)، ۲۶۸-۲۴۹. doi: [10.22124/CR.2024.26392.1805](https://doi.org/10.22124/CR.2024.26392.1805)

مقدمه

سکولوگانین را به صورت دایمر متابولیزه می‌کند که کارکرد این دایمر مشخص نیست. ژن‌های با نقش کارکردی نامشخص که دارای رابطه همولوژی با ژن STR هستند، Strictosidine Kibble *et al.*, (Synthase-like, SSL 2009). مطالعه بیش از ۵۰۰ توالی پروتئین SSL موجود در بانک‌های اطلاعاتی نشان داد که این پروتئین‌ها توانایی انجام واکنش اصلی را ندارند، با این حال واکنش هیدرولیتیک را کاتالیز می‌کنند (Hicks *et al.*, 2011).

مطالعات کارکردی ژن‌های SSL نشان دهنده نقش این ژن‌ها در بسیاری از فرآیندهای زیستی گیاهان مانند پاسخ به تنش‌ها می‌باشد. به عنوان مثال ژن‌های YLS2 و LAP3 آرابیدوپسیس که به دلیل داشتن دمین Str_synth همولوگ آنزیم استریکتوسیدین سینتاز هستند، به ترتیب در پاسخ به پیری و نمو گرده نقش دارند (Dobritsa *et al.*, 2009; Yoshida *et al.*, 2001).

بیان ژن YLS2 طی پیری و نیز پاسخ به اتیلن، آبسیزیک آسید و تاریکی القا می‌شود (Yoshida *et al.*, 2001). از طرفی خاموشی ژن LAP3 باعث نرعقیمی در آرابیدوپسیس می‌شود (Dobritsa *et al.*, 2009). ژن LAP3 برنج کارکرد مشابه با ژن OsSTRL2 آرابیدوپسیس دارد و در نمو بساک و تشکیل دیواره دانه گرده نقش دارد و نقش در این ژن موجب نرعقیمی می‌شود (Zou *et al.*, 2017). بیان ژن‌های AT3G51450 و AT3G51440 AT3G51430 آرابیدوپسیس که همولوگ استریکتوسیدین سینتاز هستند در پاسخ به تنش‌های زیستی و غیرزیستی و نیز تیمارهای سالیسیلیک اسید، جاسمونیک اسید و اتیلن به صورت معنی‌داری افزایش می‌یابد (Sohani *et al.*, 2009).

در گوجه فرنگی miR1916 نقش موثری در تنظیم بیان پس از رونویسی ژن STR دارد و سرکوب بیان این مولکول miRNA موجب القای بیان ژن‌های UGT STR2 و miRNA MYB12 و افزایش مقاومت گوجه فرنگی به پاتوژن‌های *Botrytis cinerea* و *Phytophthora infestans* می‌شود (Chen *et al.*, 2019).

نتایج مطالعه ژن‌های SSL صنوبر کالیفرنیایی (*Populus trichocarpa*) نشان داد که بیان ژن‌های PtrSSL10 PtrSSL8 PtrSSL6 PtrSSL2 و PtrSSL12 در پاسخ به تنش‌های خشکی و سطوح بالای شوری القاء می‌شود. برخی از ژن‌های PtrSSL نیز بیان بالایی در ساقه و برگ دارند (Wang *et al.*, 2023a).

متabolیت‌های ثانویه نقش مهمی در بقای گیاه و ایجاد ارتباطات اکولوژیکی بین گونه‌های دیگر دارند. این ترکیبات علاوه بر اینکه برای انسان بسیار با ارزش هستند، به محافظت از گیاهان در برابر پاتوژن‌ها و تنش‌های غیرزیستی نیز کمک می‌کنند (Jan *et al.*, 2021).

آلکالوئیدها از مهم‌ترین متabolیت‌های ثانویه گیاهان بوده و نقش بسیار مهمی در مقاومت گیاهان به تنش‌های زیستی (Wang *et al.*, 2023a) و غیرزیستی دارند (Alkaloids 2023a).

استریکتوسیدین پیش‌ساز بسیاری از آلکالوئیدها بوده و از چهل سال پیش در بسیاری از گیاهان شناسایی شده است. آنزیم استریکتوسیدین سینتاز (STR) (EC 4.3.3.2) تولید استریکتوسیدین از ترکیب تریپتامین و سکلوگانین را کاتالیز می‌کند. ژن کد کننده این آنزیم برای اولین بار از آرسوول (*Rauvolfia serpentine*) (Kutchan *et al.*, 1988; Yamazaki *et al.*, 2003) آنزیم STR متعلق به گروه آنزیمهای attack six-bladed β-propeller (N6P) آنزیم‌ها دارای ویژگی کاتالیتیک مشترک حمله نوکلئوفیلی به یک سوبسٹرای الکتروفیل هستند (Hicks *et al.*, 2013).

در برخی از پروتئین‌های گیاهان، باکتری‌ها، حشرات و حتی پستانداران، دمین Str_synth (دمین کارکردی آنزیم‌های استریکتوسیدین سینتاز PF03088) شناسایی شده است. بنابراین این پروتئین‌ها دارای رابطه تکاملی با ژن STR هستند. به عنوان مثال همومیوسین مگس سرکه، یک گلیکوپروتئین متصل به غشاء بوده و از یک ناحیه کوتاه درون سلولی و دو ناحیه خارج تشکیل شده است که شامل یک دمین مشابه با پروتئین‌های SS گیاهی و یک دمین مشابه به میوسین در انسان بوده و در اینمی مگس سرکه نقش دارد (Theopold *et al.*, 1996; Fabbri *et al.*, 2000). باید توجه داشت وجود ژن‌های همولوگ STR در ژنوم گیاهان دلیلی بر توانایی آن‌ها در تولید ترکیبات آلکالوئیدی پیچیده نیست. به عنوان مثال آرابیدوپسیس توانایی تولید ترکیبات آلکالوئیدی پیچیده را ندارد با این حال توالی‌یابی ژنوم این گیاه نشان داد که دارای ۱۵ ژن حاوی دمین Str_synth می‌باشد (Facchini *et al.*, 2004).

این ژن‌ها توانایی کاتالیز واکنش ترکیب تریپتامین و سکلوگانین و تولید استریکتوسیدین را ندارد و فقط

خانواده ژنی *SSL* در برخی از گیاهان مانند آرابیدوپسیس (Sohani *et al.*, 2009)، برقج (Gu *et al.*, 2023) و صنوبر کالیفرنیا (Wang *et al.*, 2023a) مطالعه شده است. *Triticum aestivum* L., $2n = 6x = 42$, (AABBDD) منبع اصلی تغذیه برای حدود ۴۰ درصد از جمعیت جهان است و با بالاترین سطح زیر کشت نسبت به همه گیاهان زراعی (بیش از ۲۱۸ میلیون هکتار)، بیشترین تجارت جهانی را از مجموع تمامی محصولات دیگر دارد. گندم از جایگاه مهمی در تغذیه انسان برخوردار است، به طوری که ۲۰ درصد پروتئین و کالری روزانه را تامین می کند. از نظر امنیت غذایی، این محصول پس از برقج، دومین محصول مهم غذایی در کشورهای در حال توسعه است (Giraldo *et al.*, 2019). با این حال تنش های زیستی و غیرزیستی بر کیفیت و عملکرد گندم تأثیر جدی دارند. از این رو کشف ژن هایی که در مقاومت به تنش ها نقش دارند، به عنوان منابع ژنی موثر برای اصلاح مقاومت گندم بسیار مهم هستند (Yuan *et al.*, 2023). با وجود گزارش های متعدد بر نقش ژن های *SSL* در پاسخ به تنش ها، تا کنون این خانواده ژنی در گندم مطالعه شده است. بر این اساس در مطالعه حاضر شناسایی و بررسی سیستماتیک خانواده ژنی *SSL* گندم انجام شد.

مواد و روش ها

جستجوی پایگاهداده و شناسایی ژن های کد کننده *SSL* گندم

در مرحله نخست، توالی پروتئینی خانواده ژنی *SSL* آرابیدوپسیس و برقج به عنوان مهم ترین گیاهان مدل دولپه plant ensembl داده و تکلیف از پایگاه داده <https://plants.ensembl.org> برای BlastP توالی های دریافتی از طریق الگوریتم BlastP برای plant ensembl *SSL* گندم در جستجوی ژن های *SSL* گندم در استفاده شد (Bolser *et al.*, 2016). بعد از دریافت نتایج توالی های تکراری حذف و بررسی وجود دمین SMART کارکردی Str_synth از طریق سورس Letunic (<http://smart.embl-heidelberg.de>) انجام (& Bork, 2018) و توالی های فاقد دمین های کارکردی حذف شدند. آنالیز بیانفورماتیکی مشخصات عمومی پروتئین ها شامل طول پروتئین، وزن مولکولی و نقطه ایزوکلتريك با استفاده از سورس Protparam.

هم ر دیفسازی و رسم درخت فیلوژنتیک
طول کامل توالی پروتئین های *SSL* گندم، آرابیدوپسیس (۱۵ ژن)، برقج (۲۴ ژن)، همو میوسین *Catharanthus* مگس سرکه و انسان، و STR پریو ش (Clustal Omega) و آسرو ل با استفاده از سرور (*roseeus*) (<https://www.ebi.ac.uk/jDispatcher/msa/clustalo>).
هم ر دیفسازی شد (Sievers & Higgins, 2014).
سپس نتیجه هم ر دیفسازی برای رسم درخت فیلوژنتیک استفاده و درخت فیلوژنتیک با استفاده از نرم افزار MEGA7 و روش نزدیک ترین همسایه ها (joining) رسم شد. به منظور بررسی صحت درخت رسم شده از آزمون بوتا استراپ با هزار تکرار استفاده شد (Kumar *et al.*, 2016).

بررسی ساختار ژنی، فاز اسپلایسینگ و موتیف های حفاظت شده

ساختار اگزون - اینترون و فاز اسپلایسینگ خانواده ژنی *SSL* گندم با استفاده از ابزار Gene Structure view نرم افزار TBtools-II مطالعه شد (Chen *et al.*, 2023). این آنالیز به دو فایل GFF3 ژنوم گندم و درخت فیلوژنتیک ژن های *SSL* در شکل newich نیاز دارد که فایل اول از سرور biomart دریافت و درخت فیلوژنتیک با استفاده از نرم افزار MEGA7 (Kumar *et al.*, 2016) ایجاد شد. موتیف های حفاظت در توالی پروتئینی *SSL* گندم با استفاده از سرور <https://meme-suite.org/meme> (Bailey *et al.*, 2009) ارزیابی شد (Chen *et al.*, 2023).

پارامتر های این آنالیز شامل طول موتیف بین پنج تا ۵۰ اسید آمینه و حداقل تعداد موتیف های شناسایی شده روی ۲۰ تنظیم شد. نتایج با استفاده از نرم افزار TBtools-II ارائه شد (Chen *et al.*, 2023).

آنالیز ناحیه پروموتور و شناسایی عناصر تنظیمی *Cis*

جهت شناسایی عناصر سیس ناحیه پروموتور ژن های *SSL* گندم، ابتدا ۱۵۰۰ جفت باز ناحیه بالا دست کدون شروع به عنوان ناحیه پروموتوری ژن های هدف، از سرور PlantCARE دریافت و سپس با سرور biomart

(<https://bioinformatics.psb.ugent.be/webtools/plantcare/html>)

عناصر سیس شناسایی شد (Lescot *et al.*, 2002).

مکانیسم مضاعفشدگی و فشار گزینش

برای شناسایی ژن‌های حاصل از مضاعفشدگی سگمنتال (Segmental) دو پیش شرط در نظر گرفته شد که شامل حداقل ۹۰ درصد انتباق بین دو ژن و پوشش ۹۰ درصد ناحیه هم‌ردیف شده به‌وسیله ژن با توالی کوتاه بود. برای شناسایی ژن‌های حاصل از مضاعفشدگی پی در پی (Tandem) جایگاه ژن‌ها روی کروموزوم‌های گندم بررسی و ژن‌هایی که روی یک کروموزوم قرار داشتند (فاسله دو ژن کمتر از ۱۰۰ کیلوجفت باز بود و همچنین دو شرط اشاره شده بالا را داشتند) به عنوان ژن‌های ایجاد شده از مکانیسم مضاعفشدگی تاندم در نظر گرفته شدند.

با استفاده از ابزار Simple Ka/Ks Calculator نرم‌افزار TBtools-II نرخ جهش‌های هم‌معنی (Ks) و دگرمعنی (Ka) بین ژن‌های مضاعف شده محاسبه شد (Chen *et al.*, 2023). در ادامه با استفاده از نسبت Ka/Ks فشار گزینش محاسبه شد. بر این اساس، اگر نسبت Ka/Ks بیشتر از یک باشد، ژن دارای فشار گزینش مثبت است و اگر این نسبت کمتر از یک و برابر با یک باشد، به ترتیب بیانگر فشار گزینش منفی و طبیعی است (Wang *et al.*, 2023b).

بررسی بیان ژن‌های SSL با استفاده از داده‌های RNA-seq

از داده‌های RNA-seq پایگاه داده ExpVIP (برای ارزیابی <http://www.wheat-expression.com>) به عنوان ژن‌های کد کننده SSL گندم در پاسخ به تنش‌های سرما، خشکی، گرما، خشکی/آگرما و پلی‌اتیلن گلایکول (PEG) استفاده شد (Borrill *et al.*, 2016). ژن‌هایی که Transcripts (TPM \geq 1) حداقل در یک نمونه دارای بیان (Per Million) بودند، به عنوان ژن‌های دارای بیان انتخاب شدند (Yoshioka *et al.*, 2022). داده‌های دریافت شده به صورت log2 (TPM+1) تبدیل و در ادامه با استفاده از ابزار HeatMap Illustrator نرم‌افزار TBtools-II نقشه حرارتی داده‌های بیانی رسم شد (Chen *et al.*, 2023).

نتایج و بحث

شناسایی خانواده ژنتیکی SSL گندم

گیاهان بر اساس وجود طیف وسیعی از ژن‌های ساختاری و پاسخ دهنده به تنش‌ها در ژنوم خود، قادر به

حيات و پاسخ به شرایط متغیر محیطی هستند. از جمله اين ژن‌ها می‌توان به خانواده SSL اشاره کرد که نقش مهمی در پاسخ به تنش‌های زیستی و غیرزیستی دارند. در این مطالعه با استفاده از الگوریتم BlastP کننده SSL در گستره ژنوم گندم شناسایی شد (جدول ۱). این ژن‌ها به صورت غیریکنواخت روی کروموزوم‌های زیرژن A، B و D قرار گرفتند، به طوری که زیرژن‌های A، B و D به ترتیب داری ۱۸، ۲۱ و ۲۵ ژن بودند. پنج ژن نیز به علت مشخص نبودن کروموزوم در اسکافولد قرار گرفتند. به جز کروموزوم‌های ۶A، ۶B، ۱D و ۶D که فاقد ژن SSL بودند، سایر کروموزوم‌ها حداقل دارای یکی از اعضاء این خانواده ژنی بودند (جدول ۱).

با مطالعه ویژگی‌های فیزیکوشیمیایی پروتئین‌های SSL گندم مشخص شد که طول این پروتئین‌ها با میانگین ۳۲۸۶، از ۱۸۶ اسید آمینه در SSL34 تا ۴۱۴ اسید آمینه در SSL12، SSL30 و SSL50 و SSL3 متغیر است. همچنین میانگین وزن این پروتئین‌ها ۳۵,۶۷ کیلو Dalton محاسبه شد. پروتئین‌های SSL28 با وزن ۲۰,۶ کیلو Dalton و SSL50 با وزن ۴۶,۶۹ کیلو Dalton به ترتیب کمترین و بیشترین وزن مولکولی را داشتند. نقطه ایزوکتریک نظری پروتئین‌های SSL با میانگین ۷,۴۹ در دامنه ۵,۰۴ در SSL4 تا ۹,۵۲ در SSL3 قرار داشت (جدول ۱). مقایسه ویژگی‌های فیزیکوشیمیایی پروتئین‌های SSL گندم، صنوبر کالیفرنیایی، ذرت و آرابیدوپسیس نشان داد که وزن مولکولی SSL‌های گندم و ذرت کمتر از آرابیدوپسیس و صنوبر کالیفرنیایی است. میانگین وزن مولکولی SSL‌های ذرت، آرابیدوپسیس و صنوبر کالیفرنیایی به ترتیب ۳۶,۵۲، ۳۶,۵۲ و ۴۰,۹۵ کیلو Dalton بود. میانگین طول پروتئین‌های SSL در ذرت و گندم به ترتیب دارای ۳۲۸,۲ و ۳۴۰ اسید آمینه بود که در این مورد نیز نسبت به آرابیدوپسیس و صنوبر آمریکایی طول کمتری داشتند، زیرا میانگین طول پروتئین‌های SSL این دو گیاه ۳۶۷ و ۳۷۰ میکرومتر است. میانگین نقطه ایزوکتریک گندم نزدیک به صنوبر و بیشتر از میانگین آن برای ذرت و آرابیدوپسیس بود که مقدار آن برای ذرت، صنوبر و آرابیدوپسیس به ترتیب ۶,۵۷ و ۶,۶۷ و ۶,۶۷ گزارش شده است. از آنجایی که ذرت و گندم هر دو از خانواده غلات هستند، بنابراین می‌توان گفت ویژگی‌های فیزیکوشیمیایی مشابه بیشتری نسبت به صنوبر کالیفرنیایی و آرابیدوپسیس دارند.

جدول ۱- مشخصات فیزیکوشیمیایی خانواده ژنی *TaSSL*Table 1. Physico-chemical characteristics of *TaSSL* gene family

Gene stable ID	Gene name	Chromosome	Gene start (bp)	Gene end (bp)	Strand	Length	Weight (kDa)	pI
TraesCS1A02G026500	TaSSL1	1A	12639162	12640199	+	346	37.72	8.28
TraesCS1A02G203800	TaSSL2	1A	365536062	365536994	+	245	27.01	6.48
TraesCS1A02G437900	TaSSL3	1A	587769449	587770204	+	187	20.62	9.52
TraesCS2A02G078000	TaSSL4	2A	35582909	35584365	-	344	36.65	6.27
TraesCS2A02G170200	TaSSL5	2A	125251161	125253229	-	397	42.4	5.33
TraesCS2A02G170300	TaSSL6	2A	125457444	125459448	-	321	34.58	5.23
TraesCS2A02G260200	TaSSL7	2A	409642762	409643864	+	347	37.68	9.47
TraesCS3A02G256600	TaSSL8	3A	478662356	478666993	+	337	36.34	6.17
TraesCS3A02G298200	TaSSL9	3A	532640354	532641654	+	318	34.81	7.24
TraesCS3A02G496700	TaSSL10	3A	722394773	722396059	+	346	37.73	9.4
TraesCS3A02G496900	TaSSL11	3A	722438264	722439476	-	351	38.18	9.28
TraesCS4A02G089000	TaSSL12	4A	94979877	94981689	-	414	46.58	6.92
TraesCS5A02G131200	TaSSL13	5A	295586795	295589905	+	254	27.17	5.18
TraesCS5A02G188200	TaSSL14	5A	389724313	389726710	-	364	39.21	7.8
TraesCS5A02G188300	TaSSL15	5A	389763146	389764957	-	378	40.58	8.39
TraesCS5A02G390200	TaSSL16	5A	585489225	585491855	-	399	43.68	5.97
TraesCS7A02G138300	TaSSL17	7A	90586924	90587553	+	210	23.02	8.63
TraesCS7A02G138700	TaSSL18	7A	90663981	90664610	-	210	23.06	8.95
TraesCS1B02G217600	TaSSL19	1B	394852348	394854665	+	368	39.31	5.13
TraesCS2B02G092900	TaSSL20	2B	53519486	53520805	-	343	36.6	7.23
TraesCS2B02G093000	TaSSL21	2B	53577415	53578743	+	344	36.65	6.43
TraesCS2B02G196500	TaSSL22	2B	174591805	174593791	-	368	39.21	5.22
TraesCS2B02G196600	TaSSL23	2B	174662494	174664338	-	366	39	5.42
TraesCS2B02G281700	TaSSL24	2B	390113753	390115093	-	345	37.28	9.2
TraesCS3B02G289800	TaSSL25	3B	465068549	465070005	+	337	36.4	6.27
TraesCS3B02G338500	TaSSL26	3B	544923468	544924750	-	344	37.34	7.23
TraesCS3B02G558800	TaSSL27	3B	793018848	793019713	+	210	22.98	8.95
TraesCS3B02G559000	TaSSL28	3B	793045532	793046161	+	188	20.6	8.79
TraesCS3B02G559100	TaSSL29	3B	793061658	793062881	+	346	37.63	9.11
TraesCS4B02G215300	TaSSL30	4B	454923053	454924792	+	414	46.59	6.65
TraesCS5B02G133600	TaSSL31	5B	249711888	249714643	-	375	40.87	6.18
TraesCS5B02G195300	TaSSL32	5B	352577250	352579265	+	347	37.1	7.87
TraesCS5B02G195400	TaSSL33	5B	353013738	353016479	+	365	39.22	6.39
TraesCS5B02G330900	TaSSL34	5B	515187558	515188179	+	186	20.88	6.48
TraesCS5B02G382800	TaSSL35	5B	561692255	561693729	-	342	36.93	7.79
TraesCS5B02G383000	TaSSL36	5B	561712281	561713669	-	340	36.73	7.08
TraesCS5B02G395100	TaSSL37	5B	572546647	572549222	-	400	43.83	5.91
TraesCS7B02G040400	TaSSL38	7B	40346759	40352481	+	349	37.79	9.02
TraesCS7B02G040900	TaSSL39	7B	40442512	40443808	-	349	37.8	9.13
TraesCS2D02G076000	TaSSL40	2D	32520264	32521551	-	344	36.76	6.09
TraesCS2D02G076200	TaSSL41	2D	32557965	32559316	+	344	36.73	6.54
TraesCS2D02G076300	TaSSL42	2D	32594073	32595754	-	347	37.58	5.41
TraesCS2D02G076400	TaSSL43	2D	32598127	32599584	+	344	36.84	7.23
TraesCS2D02G177700	TaSSL44	2D	121059689	121061706	-	368	38.97	5.04
TraesCS2D02G177900	TaSSL45	2D	121354288	121356255	-	323	34.77	5.6
TraesCS3D02G256900	TaSSL46	3D	359092168	359093581	+	358	38.61	6.61
TraesCS3D02G303900	TaSSL47	3D	418417313	418418550	-	321	34.87	6.83
TraesCS3D02G503900	TaSSL48	3D	591624629	591625564	+	312	34.21	9.34
TraesCS3D02G504000	TaSSL49	3D	591653654	591654892	-	346	37.71	9.33
TraesCS4D02G215800	TaSSL50	4D	369668365	369670201	+	414	46.69	7.31
TraesCS5D02G139700	TaSSL51	5D	223229427	223232332	+	374	40.8	6.51
TraesCS5D02G202700	TaSSL52	5D	307967730	307969560	+	347	37.18	7.25

Table 1. Continued

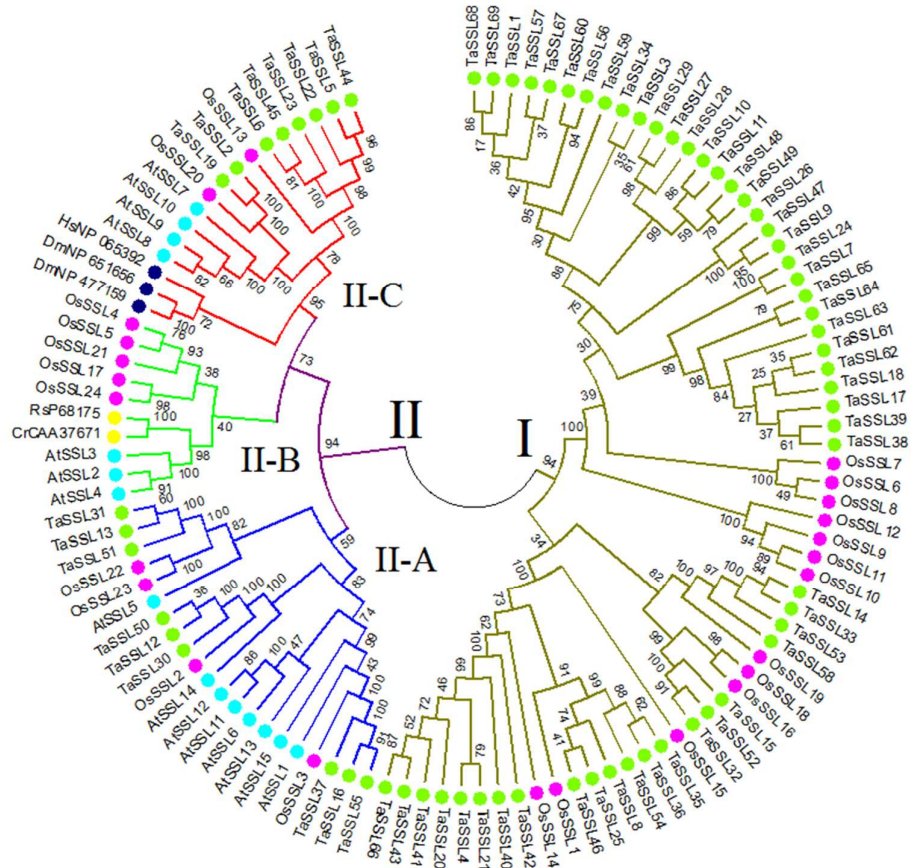
جدول ۱- ادامه

TraesCS5D02G202800	TaSSL53	5D	308217655	308221035	+	365	39.48	8.23
TraesCS5D02G389100	TaSSL54	5D	458458282	458459667	-	356	38.37	6.53
TraesCS5D02G400000	TaSSL55	5D	465200400	465203233	-	399	43.65	5.91
TraesCS7D02G075900	TaSSL56	7D	45028549	45029902	-	346	37.66	8.27
TraesCS7D02G076000	TaSSL57	7D	45056264	45057289	+	342	37.53	8.9
TraesCS7D02G076300	TaSSL58	7D	45105633	45107975	-	362	39.6	8.31
TraesCS7D02G076500	TaSSL59	7D	45192155	45192727	+	191	21.52	8.6
TraesCS7D02G076600	TaSSL60	7D	45221301	45221930	+	210	23.25	8.02
TraesCS7D02G139900	TaSSL61	7D	89486370	89487624	+	349	37.82	9.03
TraesCS7D02G140000	TaSSL62	7D	89522303	89523349	+	349	37.75	9.13
TraesCS7D02G140500	TaSSL63	7D	89730530	89731768	-	346	37.51	9.2
TraesCS7D02G140600	TaSSL64	7D	89790365	89791410	-	308	33.19	8.53
TraesCSU02G104000	TaSSL65	Un	91490467	91491513	+	349	37.76	9.08
TraesCSU02G189700	TaSSL66	Un	285394503	285395933	-	344	36.84	7.23
TraesCSU02G223800	TaSSL67	Un	330012358	330013691	+	346	37.71	8.28
TraesCSU02G240600	TaSSL68	Un	358915197	358915768	+	190	21.23	9.32
TraesCSU02G255900	TaSSL69	Un	396475176	396475747	+	190	21.12	9.19

گیاهان تکلپه پس از انشقاق از گیاهان دولپه باشد که در نتیجه فرآیندهایی مانند حذف ژن یا تکثیر اختصاصی ژن در یک گونه یا لینه ایجاد می‌شود (Liu *et al.*, 2020). از آنجایی که ژن‌های اورتولوگ گونه‌های مختلف موجود در یک گروه فیلوژنتیک می‌توانند کارکرد مشابه داشته باشند، از این‌رو می‌توان فرض کرد که ژن‌های SSL گندم، برنج و آرابیدوپسیس موجود در گروه‌های B و II-B و II-C به ترتیب در بیوسنتر آکالوئیدها و پاسخ ایمنی گیاه نقش داشته باشند (Guo *et al.*, 2008). در گروه II-B ژن STR باشند (Theopold *et al.*, 1996). بر اساس مطالعه انجام گرفته روی ژن‌های آرابیدوپسیس این زیرگروه، نقش این ژن‌ها در ایجاد مقاومت آرابیدوپسیس به تنش‌های زیستی و غیرزیستی است. بر این اساس، ژن‌های AtSSL9 AtSSL8 AtSSL7 و AtSSL10 را شبیه همومیوسین نیز می‌نامند (Sohani *et al.*, 2009). می‌توان پیش‌بینی کرد که ژن‌های SSL گندم و برنج این زیرگروه نیز نقش دفاعی در گیاه داشته باشند. با این حال این امر نیاز به مطالعه بیش‌تر دارد.

مطالعه فیلوژنتیک خانواده ژنی SSL گندم

به‌منظور درک بهتر روابط تکاملی ژن‌های SSL گندم، درخت فیلوژنتیک پروتئین‌های SSL برنج، آرابیدوپسیس به‌همراه توالی آنزیم STR پریوش و آسرول و نیز پروتئین همومیوسین انسان و مگس سرکه بر اساس روش نزدیک‌ترین همسایه‌ها رسم شد. نتایج نشان داد که درخت فیلوژنتیک به دو گروه اصلی تقسیم می‌شود (شکل ۱). گروه اول با ۶۵ عضو بزرگ‌تر بوده و تنها شامل SSL‌های گندم و برنج است. گروه دوم از ۴۸ توالی ایجاد شده و تمامی موجودات اشاره شده دارای نماینده هستند (شکل ۱). گروه دوم را می‌توان به سه زیرگروه تقسیم کرد. زیرگروه A با ۲۱ عضو شامل SSL‌های گندم، برنج و آرابیدوپسیس، زیرگروه B شامل پنج SSL برنج، سه آرابیدوپسیس و پروتئین‌های STR پریوش و آسرول، و زیرگروه C شامل دو SSL برنج، سه آرابیدوپسیس، هشت SSL گندم و نیز سه همومیوسین مربوط به انسان و مگس سرکه است (شکل ۲). مطالعه تکاملی خانواده ژنی SSL در ذرت، آژیلوپس، سورگوم، برنج و آرابیدوپسیس نیز نشان داد که از پنج زیرگروه، سه زیرگروه اختصاصی گیاهان تکلپه بوده و ژن‌های SSL تکلپه و دو لپه به دو گروه می‌باشد. حضور ژن‌های SSL تکلپه و دو لپه در گروه دوم نشان می‌دهد که این ژن‌ها از یک جد مشترک تکامل پیدا کرده‌اند (Wang *et al.*, 2018). اما ایجاد گروه فیلوژنتیک اول که مختص گندم و برنج است، می‌تواند حاکی از تکامل مستقل خانواده ژنی SSL در



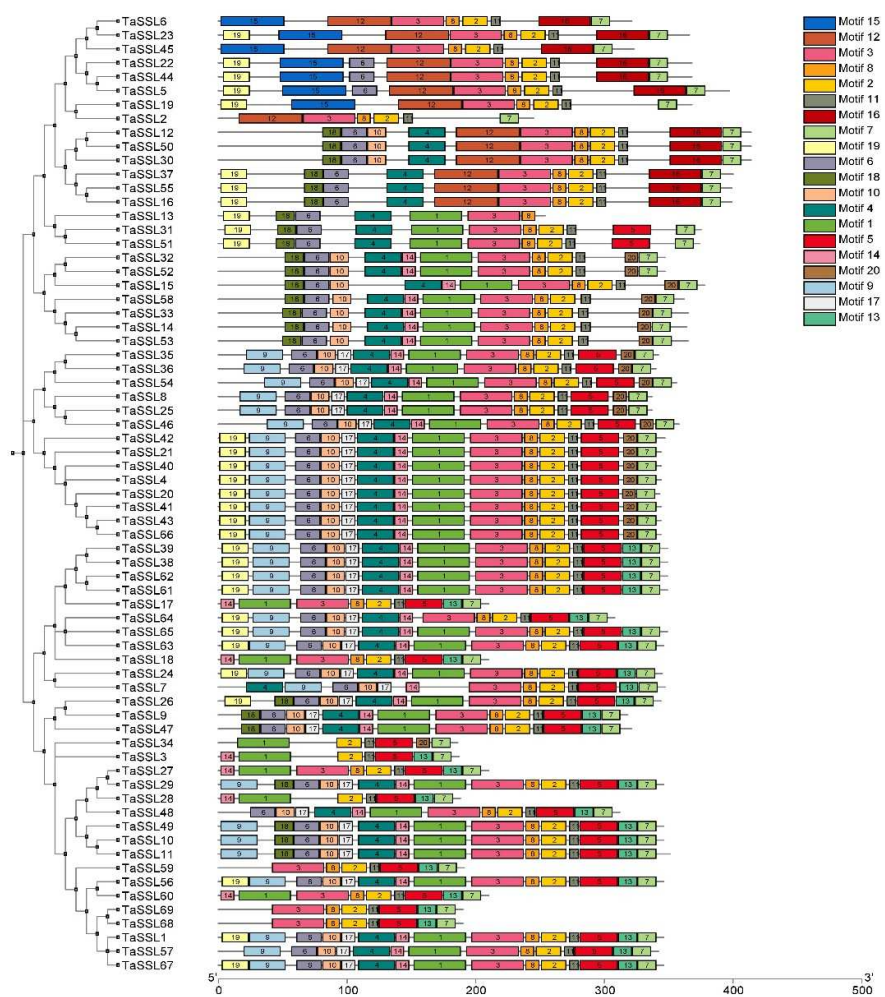
شکل ۱- درخت فیلوزنیک خانواده ژنی *TaSSL* گندم (Ta)، برنج (Os) و آرایدپسیس (At)، آرسول (Rs) و پریوش (Cr)، هومو میوسین انسان (Hs) و مگس سرکه (Dm). ژن های مربوط به هر موجود با رنگ متفاوت نشان داده شده است. رسم درخت به روش نزدیک ترین همسایه ها (NJ) و نرم افزار MEGA7 با ۱۰۰۰ تکرار بوت استرپ انجام شد.

Figure 1. Phylogenetic tree of the *TaSSL* gene family of *Triticum aestivum* (Ta), *Oryza sativa* (Os) and *Arabidopsis thaliana* (At), STR of *Rauvolfia serpentine* (Rs) and *Catharanthus roseus* (Cr), hemomucin of human and fruit fly. Genes related to each organism are shown with a different color). The tree was constructed using MEGA7 software using neighbor-joining (NJ) method with 1000 bootstraps.

سه و هشت شناسایی شد. موتیف پنج با فروانی هفت در TaSSL6 .TaSSL23 .TaSSL45 .TaSSL22 .TaSSL5 و TaSSL19 تشخیص داده شد که از نظر فیلوزنیتیک در گروه II-C قرار داشته و رابطه نزدیکی با ژن‌های همومیوسین دارند (شکل ۲). بررسی کارکردی این موتیف‌ها از طریق سرور SMART نشان داد که موتیف‌های دو، سه، هشت و یازده مربوط به دمین کارکردی Str_{synth} (PF03088) هستند. همچنین موتیف پنج مربوط به دمین انتهای آمینو شبیه استریکتوسیدین سیتیاز (PF20067) است.

اینترنت خانواده SSL گندم

برای درک بهتر میزان حفاظت شدگی موجود در خانواده ژنی SSL گندم، ساختار موتیفهای حفاظت شده این پروتئین‌ها ارزیابی شد. در نتیجه این بررسی ۲۰ موتیف حفاظت شده شناسایی شد. بررسی فراوانی و توزیع این موتیف‌ها حاکی از حفاظت شدگی بالای SSL‌های گندم داشت (شکل ۲). موتیف‌های دو، هفت و یازده در ۶۸ پروتئین SSL شناسایی شد و تنها TaSSL12 فاقد این موتیف‌ها بود. همچنین به جز ۳ TaSSL28، TaSSL3 و TaSSL34 در سایر پروتئین‌های این خانواده، موتیف‌های



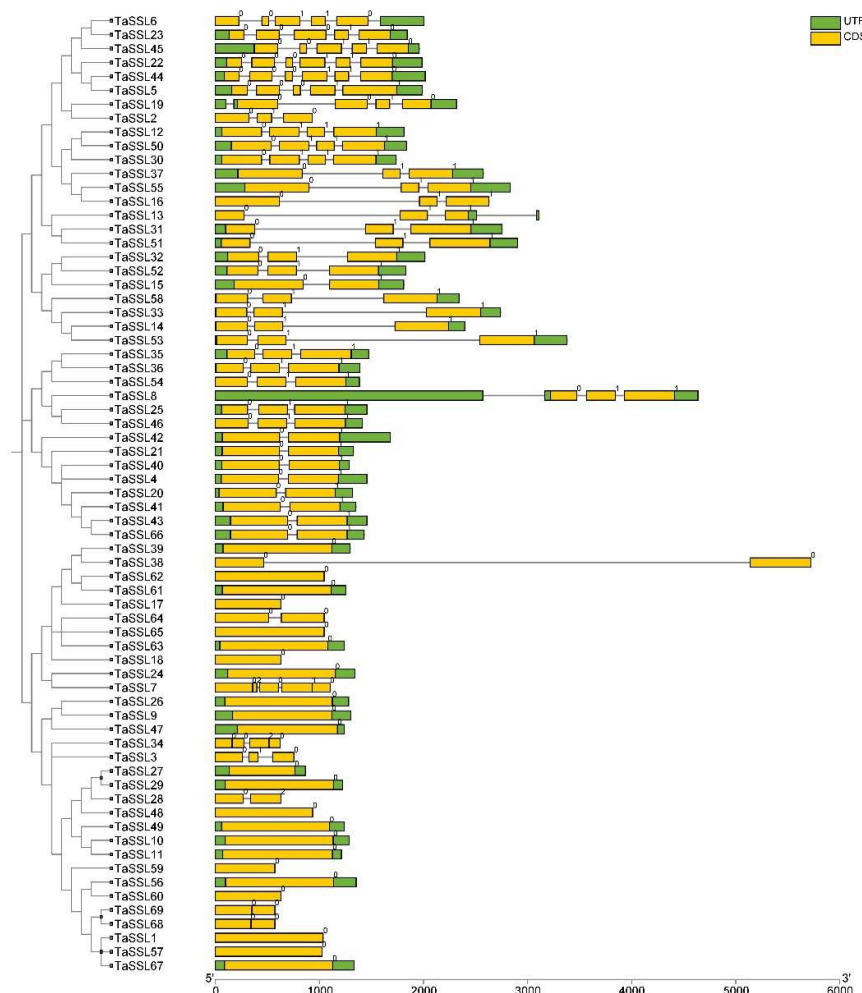
شکل ۲- موتیفهای حفاظت شده پروتئین‌های TaSSL. هر موتیف با یک رنگ مجزا مشخص شده است.

Figure 2. The conserved motifs of the TaSSL proteins. Different motifs are presented in different colors.

اینtron به عنوان بخشی از استراتژی سازگاری برای پاسخ سریع به تنش‌های زیستی و غیرزیستی از ژن‌های غنی از اینtron منشاء گرفته‌اند (Liu *et al.*, 2021). بنابراین، احتمالاً ژن‌های SSL گندم در پاسخ به تنش‌ها می‌توانند نقش داشته باشند. مقایسه ساختار ژنی خانواده SSL گندم با ذرت و صنوبر کالیفرنیایی نشان داد که برخلاف ژن‌های SSL گندم و ذرت که صفر تا پنج اینtron (عموماً فاقد اینtron) دارند، خانواده ژنی SSL صنوبر کالیفرنیایی دارای دو تا شش اینtron بوده و ژن‌های SSL قادر اینtron در این گیاه وجود ندارد (Gu *et al.*, 2023; Wang *et al.*, 2023a). این نتایج نشان دهنده مسیر تکاملی متفاوت ژن‌های SSL گندم و ذرت با صنوبر کالیفرنیایی به عنوان یک گیاه دولپه متفاوت بوده و نتایج آنالیز فیلوجنتیک را تائید می‌کند.

تفاوت ساختاری اگزون-اینtron منبع مهمی برای تنوع خانواده ژنی و تنوع زیستی گیاهی است. این تفاوت و تنوع ساختاری بیان ژن را تحت تاثیر قرار می‌دهد (Xu *et al.*, 2012). مطالعه ساختار اگزون-اینtron خانواده ژنی SSL گندم نشان داد که بیشترین تعداد اینtron مربوط به زیر گروه II-C فیلوجنتیک است (شکل ۳). در این زیر گروه به استثناء ژن 2 *TaSSL2* که دو اینtron دارد، سایر ژن‌ها دارای چهار یا پنج اینtron هستند. ژن‌های زیر گروه II-B و II-A دو یا سه اینtron دارند. همچنین کمترین تعداد اینtron در گروه I فیلوجنتیکی مشاهده شد و به جز ژن *TaSSL7* که چهار اینtron داشت، سایر ژن‌های این گروه از صفر تا سه اینtron دارند (شکل ۳).

ژن‌های یوکاریوتویی از نظر تعداد اینtron به سه گروه فاقد اینtron، دارای اینtron کم و غنی از اینtron ها تقسیم می‌شوند. از نظر تکاملی، ژن‌های دارای اینtron کم یا فاقد



شکل ۳- ساختار اگزون-اینtron ژن‌های *TaSSL* گندم. نواحی غیر کد کننده، اگزون‌ها و اینترون‌ها به ترتیب با جعبه‌های سبز و زرد و خطوط سیاه مشخص شده‌اند.

Figure 3. The exon – intron structure of *TaSSL* in *T. aestivum*. UTR, exons and introns are presented by green and yellow boxes and black lines, respectively.

بالا بودن فروانی فاز اینترونی صفر و یک در ژن‌های SSL حفاظت‌شدگی بالای ساختار ژنی آن‌ها را نشان می‌دهد (Yan *et al.*, 2019).

آنالیز ناحیه پرموتوری خانواده ژنی SSL
عناصر تنظیمی سیس توالی‌هایی در بالادست^۵ ژن‌ها هستند که بیان ژن را تحت تاثیر قرار می‌دهند. اگرچه این توالی‌ها قادر به کد کردن پروتئین نیستند، با این حال جایگاه کارکردی را ایجاد کرده و از طریق تعامل با عوامل رونویسی بیان ژن در مراحل مختلف حیات گیاه را تنظیم می‌کنند (Hernandez-Garcia & Finer, 2014). از این‌رو برای پیش‌بینی نقش بالقوه ژن‌های SSL گندم، در این مطالعه ۱۵۰۰ جفت باز بالادست ژن‌های SSL گندم بررسی و مشخص شد که در مجموع ۱۲۹۶ عنصر سیس

اسپلایسینگ اینtron به سه فاز صفر، یک و دو تقسیم می‌شود. در فاز صفر، اینترون بین دو کدون، در فاز یک، اینترون بین نوکلئوتید اول و دوم کدون و در فاز دو، اینترون بین نوکلئوتید دوم و سوم کدون قرار دارد (Wu *et al.*, 2023). بررسی فاز اینترونی نشان داد که در ژن‌های SSL گندم، ۵۸ درصد مربوط به فاز صفر، ۴۰ درصد مربوط به فاز یک و دو درصد مربوط به فاز دو هستند (شکل ۳). فاز اینترونی با میزان حفاظت‌شدگی توالی در جایگاه اسپلایسینگ با تکامل اینترون‌های اسپلایزومی مرتبط است. بالاترین میزان حفاظت‌شدگی مربوط به فاز صفر می‌باشد. همچنین اینترون فاز یک حفاظت‌شدگی بالایی دارد، در حالی که اینترون‌های فاز دو کمترین میزان حفاظت‌شدگی را نشان داده‌اند. بنابراین،

پاسخ به تنش‌ها را به‌خود اختصاص دادند. MYB و MYC در پاسخ به خشکی و ARE در پاسخ به شرایط بی‌هوای نقش دارند. بیشترین فراوانی و نوع عنصر تنظیمی در پرموتور ژن‌های *TaSSL1*, *TaSSL9* و *TaSSL60* مشاهده شد. پرموتور ژن *TaSSL1* دارای ۲۲ نوع عنصر تنظیمی با فراوانی ۵۳ بود. در ناحیه تنظیمی ژن‌های *TaSSL9* و *TaSSL60* ۲۱ نوع عنصر تنظیمی شناسایی شد که به ترتیب دارای فراوانی ۴۱ و ۳۹ بودند. عناصر تنظیمی سیس پاسخ به تنش‌ها و هورمون‌ها در پرموتور خانواده ژنی *SSL* ذرت و صنوبر کالیفرنیای نیز شناسایی شده است. این نتایج نشان دهنده نقش ژن‌های *SSL* در سازگاری گیاهان به شرایط محیطی است (Gu *et al.*, 2023; Wang *et al.*, 2023a).

در پرموتور این ژن‌ها وجود دارد (جدول ۲). این عناصر سیس مربوط به ۱۴ نوع عنصر تنظیمی پاسخ به هورمون‌ها و ۱۶ نوع عنصر تنظیمی پاسخ به تنش‌ها هستند و در پاسخ به هورمون‌های آبسیزیک اسید، سالیسیلیک اسید، اتیلن، اکسین، جیبرلین و تنش‌های سرما، خشکی، کادمیون، دهیدراسیون، زخم، پاتوژن، الیستیتور و شرایط بی‌هوای نقش دارند (جدول ۲). از میان عناصر سیس پاسخ به هورمون‌ها، بیشترین فراوانی مربوط به ABRE3A, ABRE4 و ABRE3A به ترتیب فراوانی ۱۰۱، ۷۵ و ۷۵ داشتند و هر سه در پاسخ به هورمون آبسیزیک اسید نقش دارند. از سوی دیگر عناصر تنظیمی MYB با فراوانی ۲۵۶، MYC با فراوانی ۱۶۸ و ARE با فراوانی ۱۰۰ بیشترین تعداد عناصر سیس

جدول ۲- عناصر تنظیمی سیس شناسایی شده در پرموتور ژن‌های *TaSSL* و کارکرد آن‌هاTable 2. Cis-regulatory elements in *TaSSL* genes promoters and their function

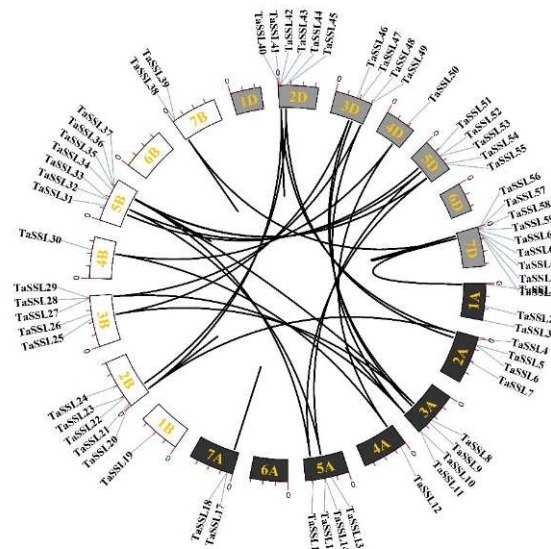
Type	Cis Elements	Function	Frequency
Hormone	ABRE2	cis-acting element involved in the abscisic acid responsiveness	1
	AT~ABRE	ABA response	3
	SARE	cis-acting element involved in salicylic acid responsiveness	3
	TATC-box	cis-acting element involved in gibberellin-responsiveness	5
	AuxRR-core	cis-acting regulatory element involved in auxin responsiveness	6
	CARE	ABA response, GA response	10
	GARE-motif	gibberellin-responsive	18
	ERE	ethylene-responsive element	23
	P-box	gibberellin-responsive element	23
	TCA-element	cis-acting element involved in salicylic acid responsiveness	32
	TGA-element	auxin-responsive element	34
	ABRE3a	cis-acting element involved in the abscisic acid responsiveness	75
	ABRE4	cis-acting element involved in the abscisic acid responsiveness	75
	ABRE	cis-acting element involved in the abscisic acid responsiveness	101
	DRE	dehydration-responsive	1
	AP-1	Cd response	2
	box S	wounding and pathogen response	12
	DRE1	drought response	14
Stress	TC-rich repeats	cis-acting element involved in defense and stress responsiveness	16
	WUN-motif	wound-responsive element	19
	MYB recognition site	drought response	26
	GC-motif	enhancer-like element involved in anoxic specific inducibility	26
	MBS	MYB binding site involved in drought-inducibility	41
	W box	elicitor responsive cis-element	44
	LTR	cis-acting element involved in low-temperature responsiveness	48
	DRE core	drought response	57
	WRE3	wounding	57
	ARE	cis-acting regulatory element essential for the anaerobic induction	100
	MYC	drought response	168
	MYB	water response, drought response	256

TaSSL حاصل از مضاعف شدگی سگمنتال می‌تواند در پاسخ به تنش‌ها نقش داشته باشد.

نسبت Ka/Ks یا فشار گزینش، شاخص مهمی برای بررسی تکامل ژن‌ها است. نتایج این مطالعه نشان داد که دو جفت ژن مضاعف شده فشار گزینش مثبت و سایر ژن‌های مضاعف شده فشار گزینش منفی را متحمل شده‌اند. میانگین فشار گزینش منفی و مثبت نیز به ترتیب $0,17$ و $0,29$ بود (جدول ۳). گزینش منفی موجب می‌شود که سرعت تکامل خانواده‌های ژنی در سطح پروتئین Ahmad (et al., 2022) ایجاد ژن‌های چند کارکردی آن‌ها حفظ شود (Zhang et al., 2023). از این‌رو شده طی تکامل می‌شود که فشار *SSL* که فشار گزینش منفی را تجربه کارکرد ژن‌های مضاعف شده *SSL* خود حفظ شده و ژن‌های تحت کنترل فشار گزینش مثبت می‌توانند کارکردهای متفاوتی داشته باشند. در نتیجه از یک سو ژن‌های *SSL* کارکردهای پیشین خود را انجام می‌دهند و از سوی دیگر، نقش‌های زیستی جدید ایجاد شده در این ژن‌ها می‌تواند توانایی‌های گندم در جنبه‌های مختلف زیستی مانند عملکرد و یا مقاومت در برابر تنش‌ها را افزایش دهد.

مضاعف شدگی و فشار گزینش

پدیده مضاعف شدگی از مهم‌ترین ویژگی‌های ساختار ژنومی گیاهان است و به تکامل ژنوم کمک می‌کند. از آنجا که مضاعف شدگی موجب ایجاد ژن‌های جدید می‌شود، بنابراین نقش مهمی در تکامل و بسط خانواده‌های ژنی ایفا می‌کند (Cannon et al., 2004). گسترش خانواده‌های ژنی از طریق سه فرآیند مضاعف شدگی سگمنتال، تاندم و Whole genome مضاعف شدگی کامل ژنوم (Magwanga et al., 2018) اتفاق می‌افتد (duplication). در مضاعف شدگی سگمنتال، ژن‌های مضاعف شده در سراسر ژنوم پراکنده می‌شوند، در حالی که در مضاعف شدگی تاندم ژن‌های مضاعف شده تمایل دارند با یکدیگر ایجاد خوش کنند (Qanumber et al., 2019). نتایج نشان داد که ۷۳ جفت ژن مضاعف شده در خانواده ژنی *SSL* گندم وجود دارد که ۶۴ جفت ژن در اثر مضاعف شدگی سگمنتال و نه جفت ژن در اثر مضاعف شدگی تاندم ایجاد شده‌اند (شکل ۴، جدول ۳). از این‌رو مضاعف شدگی سگمنتال عامل اصلی بسط این خانواده ژنی در گندم است. مضاعف شدگی سگمنتال در بسط و تکامل خانواده‌های ژنی نقش مهمی دارد و برای سازگاری گیاه به محیط و گونه‌زایی ضروری است (Yu et al., 2023). بر این اساس، می‌توان گفت که ژن‌های



شکل ۴- جایگاه کروموزومی ژن‌های *TaSSL* گندم. کروموزوم‌های هر زیرژنوم با رنگ متفاوت نشان داده شده‌اند. منحنی‌های سیاه رنگ ژن‌های مضاعف شده را بهم متصل کرده‌اند.

Figure 4. Chromosomal locations of *T. aestivum* *SSL* genes. Each sub-genome chromosomes are represented by different colored boxes. Black curves connecting the genes indicate duplications.

جدول ۳- فشار گزینش و نوع مضاعفشدگی جفت ژن‌های *TaSSL* مضاعف شدهTable 3. Selection pressure and the type of duplication of *TaSSL* gene pairs

Gene 1	Gene 2	Ka	Ks	Ka\ Ks	Selection	Duplication
TaSSL56	TaSSL1	0.01	0.17	0.07	Negative	Segmental
TaSSL57	TaSSL1	0.02	0.09	0.25	Negative	Segmental
TaSSL67	TaSSL1	0.01	0.00	3.01	Positive	Segmental
TaSSL10	TaSSL11	0.02	0.19	0.08	Negative	Tandem
TaSSL49	TaSSL11	0.01	0.19	0.07	Negative	Segmental
TaSSL37	TaSSL16	0.01	0.13	0.09	Negative	Segmental
TaSSL55	TaSSL16	0.00	0.12	0.04	Negative	Segmental
TaSSL17	TaSSL18	0.01	0.16	0.07	Negative	Tandem
TaSSL20	TaSSL21	0.03	0.13	0.20	Negative	Tandem
TaSSL4	TaSSL21	0.03	0.12	0.22	Negative	Segmental
TaSSL40	TaSSL21	0.03	0.13	0.23	Negative	Segmental
TaSSL41	TaSSL21	0.03	0.13	0.21	Negative	Segmental
TaSSL43	TaSSL21	0.03	0.10	0.25	Negative	Segmental
TaSSL8	TaSSL25	0.02	0.11	0.15	Negative	Segmental
TaSSL10	TaSSL29	0.02	0.12	0.21	Negative	Segmental
TaSSL11	TaSSL29	0.03	0.19	0.14	Negative	Segmental
TaSSL49	TaSSL29	0.02	0.13	0.16	Negative	Segmental
TaSSL12	TaSSL30	0.01	0.06	0.10	Negative	Segmental
TaSSL50	TaSSL30	0.01	0.07	0.08	Negative	Segmental
TaSSL14	TaSSL33	0.02	0.05	0.35	Negative	Segmental
TaSSL35	TaSSL36	0.01	0.15	0.09	Negative	Tandem
TaSSL8	TaSSL36	0.04	0.27	0.14	Negative	Segmental
TaSSL39	TaSSL38	0.01	0.05	0.17	Negative	Tandem
TaSSL20	TaSSL4	0.02	0.10	0.23	Negative	Segmental
TaSSL20	TaSSL40	0.02	0.09	0.18	Negative	Segmental
TaSSL4	TaSSL40	0.02	0.09	0.25	Negative	Segmental
TaSSL20	TaSSL41	0.01	0.12	0.09	Negative	Segmental
TaSSL4	TaSSL41	0.02	0.11	0.17	Negative	Segmental
TaSSL40	TaSSL41	0.02	0.12	0.16	Negative	Segmental
TaSSL43	TaSSL41	0.01	0.09	0.13	Negative	Segmental
TaSSL20	TaSSL43	0.02	0.12	0.14	Negative	Segmental
TaSSL4	TaSSL43	0.03	0.12	0.23	Negative	Segmental
TaSSL40	TaSSL43	0.02	0.11	0.23	Negative	Segmental
TaSSL22	TaSSL44	0.03	0.09	0.32	Negative	Segmental
TaSSL25	TaSSL46	0.01	0.07	0.21	Negative	Segmental
TaSSL8	TaSSL46	0.02	0.09	0.20	Negative	Segmental
TaSSL9	TaSSL47	0.02	0.19	0.12	Negative	Segmental

Table 3. Continued

جدول ۳- ادامه

Gene 1	Gene 2	Ka	Ks	Ka\ Ks	Selection	Duplication
TaSSL10	TaSSL49	0.02	0.13	0.14	Negative	Segmental
TaSSL44	TaSSL5	0.01	0.06	0.21	Negative	Segmental
TaSSL12	TaSSL50	0.00	0.06	0.03	Negative	Segmental
TaSSL31	TaSSL51	0.01	0.05	0.23	Negative	Segmental
TaSSL32	TaSSL52	0.01	0.07	0.17	Negative	Segmental
TaSSL14	TaSSL53	0.01	0.05	0.25	Negative	Segmental
TaSSL33	TaSSL53	0.02	0.05	0.37	Negative	Segmental
TaSSL35	TaSSL54	0.02	0.14	0.13	Negative	Segmental
TaSSL36	TaSSL54	0.02	0.15	0.11	Negative	Segmental
TaSSL37	TaSSL55	0.01	0.13	0.09	Negative	Segmental
TaSSL56	TaSSL57	0.03	0.16	0.16	Negative	Tandem
TaSSL68	TaSSL59	0.03	0.14	0.21	Negative	Segmental
TaSSL69	TaSSL59	0.03	0.14	0.20	Negative	Segmental
TaSSL45	TaSSL6	0.02	0.11	0.16	Negative	Segmental
TaSSL38	TaSSL61	0.02	0.11	0.17	Negative	Segmental
TaSSL39	TaSSL61	0.02	0.13	0.17	Negative	Segmental
TaSSL62	TaSSL61	0.01	0.10	0.12	Negative	Tandem

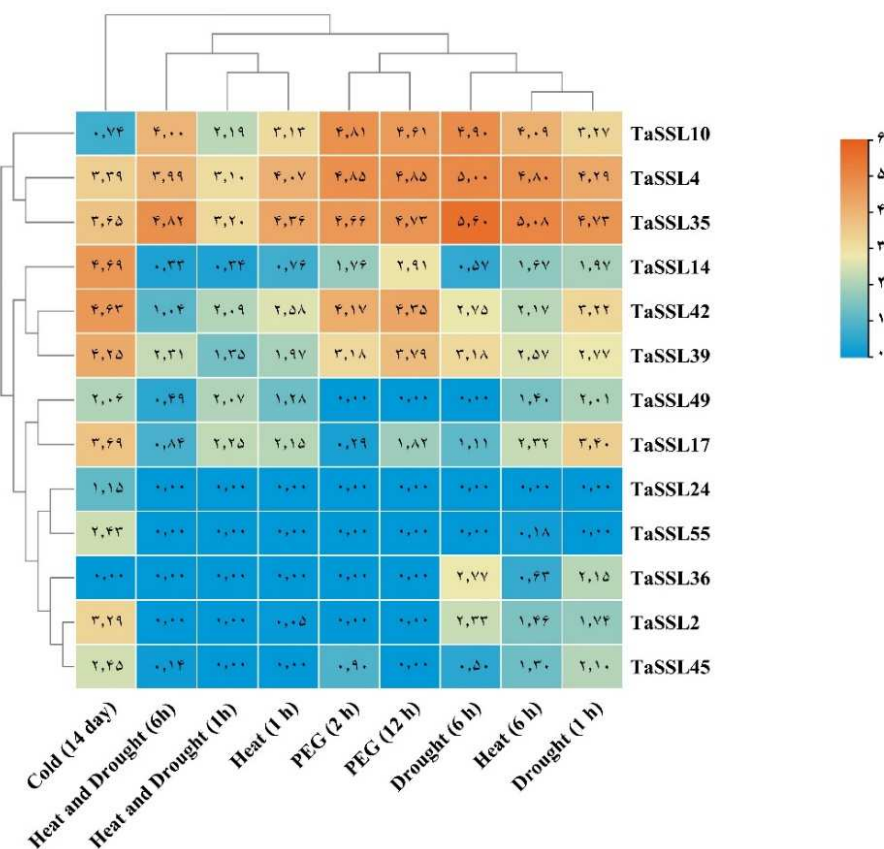
Table 3. Continued

جدول -۳ ادامه

TaSSL63	TaSSL61	0.03	0.16	0.20	Negative	Tandem
TaSSL65	TaSSL61	0.05	0.34	0.16	Negative	Segmental
TaSSL38	TaSSL62	0.02	0.14	0.10	Negative	Segmental
TaSSL39	TaSSL62	0.02	0.17	0.10	Negative	Segmental
TaSSL63	TaSSL62	0.03	0.15	0.17	Negative	Tandem
TaSSL65	TaSSL62	0.05	0.33	0.16	Negative	Segmental
TaSSL38	TaSSL63	0.04	0.17	0.22	Negative	Segmental
TaSSL39	TaSSL63	0.04	0.17	0.24	Negative	Segmental
TaSSL65	TaSSL63	0.03	0.25	0.11	Negative	Segmental
TaSSL38	TaSSL65	0.06	0.35	0.16	Negative	Segmental
TaSSL20	TaSSL66	0.02	0.12	0.14	Negative	Segmental
TaSSL21	TaSSL66	0.03	0.10	0.25	Negative	Segmental
TaSSL4	TaSSL66	0.03	0.12	0.23	Negative	Segmental
TaSSL40	TaSSL66	0.02	0.11	0.23	Negative	Segmental
TaSSL41	TaSSL66	0.01	0.09	0.13	Negative	Segmental
TaSSL43	TaSSL66	0.00	0.00	NaN	nnnn	Segmental
TaSSL56	TaSSL67	0.01	0.16	0.06	Negative	Segmental
TaSSL57	TaSSL67	0.02	0.09	0.18	Negative	Segmental
TaSSL69	TaSSL68	0.01	0.00	3.57	Positive	Segmental

توجهی دارد. بر این اساس می‌توان چهار گروه بیان مشاهده کرد. گروه اول مربوط به بیان ژن‌ها در پاسخ به تنش سرما است که کاملاً از سایر تنش‌ها متفاوت بوده و به جز ژن‌های *TaSSL36* و *TaSSL24* سایر ژن‌ها بیان متوسط تا بالایی را در پاسخ به تنش سرمایی داشتند (شکل ۵). گروه دوم مربوط به پاسخ به تنش گرمایی (یک ساعت پس از تنش) و تنش تومأم خشکی و گرما (یک و شش ساعت پس از تنش) است. بر اساس میزان بیان سه ژن *TaSSL10*, *TaSSL4* و *TaSSL35* و *TaSSL14* نوشته اصلی در پاسخ به این تنش‌ها را بر عهده داشتند (شکل ۵). گروه سوم مربوط به تنش اسمزی القاء شده به وسیله PEG است که ژن‌های موثر در پاسخ به این تنش شامل *TaSSL14*, *TaSSL35*, *TaSSL4*, *TaSSL10*, *TaSSL39* و *TaSSL42* بودند (شکل ۵). گروه چهارم مربوط به تش خشکی (یک و شش ساعت پیش از تنش) و تنش گرمایی (شش ساعت پس از تنش) است. در این گروه می‌توان گفت که تنها دو ژن *TaSSL24* و *TaSSL55* قادر بیان بودند و سایر ژن‌های موثر مطالعه طیفی از بیان متوسط تا بالا را نشان دادند (شکل ۵). مطالعه بیان ژن‌های *SSL* در سایر گیاهان مانند ذرت، صنوبر کالیفرنیایی و آرابیدوپسیس نیز نشان داده است که این ژن‌ها می‌توانند به عنوان ژن‌های موثر در پاسخ به تنش‌ها شناخته شوند (*Sohani et al.*, 2009; *Gu et al.*, 2009; *Wang et al.*, 2023a).

پاسخ ژن‌های *SSL* گندم به تنش‌های غیرزیستی بهمنظور ارزیابی پاسخ ژن‌های *SSL* به تنش‌های expVIP، از داده‌های RNA-seq سور آن استفاده شد. بر اساس میزان بیان، ژن‌ها به سه گروه کم ($2 \leq \log_2 \text{TPM} \leq 4$)، متوسط ($\log_2 \text{TPM} < 2$) و بالا ($4 \leq \log_2 \text{TPM} \leq 6$) تقسیم شدند. (Sarcheshmeh *et al.*, 2023) بر این اساس، ژن‌های مورد مطالعه را می‌توان به دو گروه کلی تقسیم کرد. در گروه اول ژن‌هایی قرار دارند که در پاسخ به همه تنش‌ها بیان متوسط تا بالایی از خود نشان داده‌اند (شکل ۵). این گروه شامل ژن‌های *TaSSL10*, *TaSSL4* و *TaSSL35* می‌باشند که به جز بیان *TaSSL10* در شرایط تنش سرمایی در پاسخ به سایر تنش‌ها القاء شده‌اند (شکل ۵). گروه دوم شامل ژن‌های *TaSSL42*, *TaSSL14*, *TaSSL24*, *TaSSL17*, *TaSSL49*, *TaSSL39*, *TaSSL45* و *TaSSL2*, *TaSSL36*, *TaSSL55* بیان هر یک از ژن‌های این گروه به تنش‌ها متفاوت بوده و می‌توان گفت برخی از آن‌ها اختصاصی یک یا چند تنش هستند (شکل ۵). به عنوان مثال، ژن *TaSSL36* بیان متوسطی در پاسخ به تنش خشکی در ساعت‌های مختلف داشته و در سایر تنش‌ها قادر بیان است. چنین حالتی در مورد ژن *TaSSL55* نیز مشاهده می‌شود که بر اساس میزان بیان می‌توان گفت این ژن در شرایط تنش سرمایی القاء می‌شود (شکل ۵). گروه‌بندی بیان بر اساس نوع تنش نیز نتایج قابل



شکل ۵- الگوی بیان ژن‌های *TaSSL* گندم تحت شرایط تنش‌های متفاوت. جعبه‌های رنگی میزان بیان را نشان می‌دهند. نقشه حرارتی بر اساس مقادیر $\text{Log}_2(\text{TPM} + 1)$ رسم شده است.

Figure 5. The expression pattern of *TaSSL* genes under diverse abiotic stresses. The color boxes indicate expression values. The heatmap was generated using $\text{Log}_2(\text{TPM} + 1)$ values.

نشان دهنده نقش ژن‌های *TaSSL* در پاسخ به تنش‌های غیرزیستی است. با توجه به این که تنش‌های زیستی و غیرزیستی، عملکرد گندم را به عنوان یکی از مهم‌ترین گیاهان زراعی کاهش داده و امنیت غذایی را تهدید می‌کنند، بنابراین شناسایی ژن‌های پاسخ به تنش نقش مهمی در برنامه‌های اصلاحی گندم با هدف افزایش مقاومت به تنش‌ها دارد. ویژگی‌هایی نظیر فشار گزینش منفی اعمال شده بر ژن‌های *TaSSL*, عناصر تنظیمی پاسخ به تنش‌ها و هورمون‌ها، تعداد کم اینترون و پاسخ ژن‌های *TaSSL* به تنش‌های غیرزیستی نقش این ژن‌ها را در پاسخ گندم به شرایط نامساعد محیطی نشان می‌دهند. این مطالعه اولین گام در درک مسیر تکاملی و کارکردی ژن‌های *TaSSL* است و بنابراین از این اطلاعات می‌توان جهت انتخاب ژن‌های موثر در تولید رقم‌های گندم مقاوم به تنش‌ها در مطالعات آینده استفاده کرد.

نتیجه‌گیری کلی

در این مطالعه برای اولین بار خانواده ژنی *SSL* گندم از نظر تکاملی و کارکردی مورد مطالعه قرار گرفت. بر *SSL* نتایج درخت فیلوجنی مشخص شد که ژن‌های گندم، اگرچه دارای جد مشترک با گیاهان تکلپه و دولپه است، اما طی تکامل برخی از ژن‌ها مسیر متفاوتی را طی کرده‌اند که نتیجه آن ایجاد گروه مربوط به گیاهان تکلپه می‌باشد. از سوی دیگر، مطالعه موتیف‌های حفاظت‌شده و ساختار ژنی نشان داد که خانواده ژنی *SSL* گندم حفاظت شده است و اینترنون‌های کمی دارد. عامل اصلی بسط این خانواده ژنی مضاعف‌شدگی سگمنتال است و طی تکامل فشار گزینش منفی بر ژن‌های مضاعف‌شده اعمال شده است. وجود عناصر تنظیمی پاسخ به هورمون‌ها و تنش‌ها در پرموتر ژن‌های *TaSSL* و نیز الگوی بیانی پیچیده این ژن‌ها در پاسخ به تنش‌های سرما، گرما، اسمزی و خشکی

تضاد منافع

نویسنده (گان) تایید می‌کنند که این تحقیق در غیاب هر گونه روابط تجاری یا مالی که می‌تواند به عنوان تضاد منافع بالقوه تعبیر شود، انجام شده است.

اجازه انتشار مقاله

نویسنده (گان) با چاپ این مقاله به صورت دسترسی باز موافقت کرده و کلیه حقوق استفاده از محتوا، جدول‌ها، شکل‌ها، تصویرها و غیره را به ناشر واگذار می‌کنند.

رعایت اخلاق در نشر

نویسنده (گان) اعلام می‌کنند که در نگارش این مقاله به طور کامل از اخلاق نشر از جمله سرقت ادبی، سوء رفتار، جعل داده‌ها و یا ارسال و انتشار دوگانه، پیروی کرده‌اند. همچنین این مقاله حاصل یک کار تحقیقاتی اصیل بوده و

References

- Ahmad, H. M., Alafari, H. A., Fiaz, S., Alshaya, D. S., Toor, S., Ijaz, M., Rasool, N., Attia, K. A., Zaynab, M., & Azmat, S. (2022). Genome-wide comparison and identification of myosin gene family in *Arabidopsis thaliana* and *Helianthus annuus*. *Helion*, 8(12), e12070. doi: [10.1016/j.heliyon.2022.e12070](https://doi.org/10.1016/j.heliyon.2022.e12070).
- Artimo, P., Jonnalagedda, M., Arnold, K., Baratin, D., Csardi, G., De Castro, E., Duvaud, S., Flegel, V., Fortier, A., & Gasteiger, E. (2012). ExPASy: SIB bioinformatics resource portal. *Nucleic Acids Research*, 40(W1), W597-W603. doi: [10.1093/nar/gks400](https://doi.org/10.1093/nar/gks400).
- Bailey, T. L., Boden, M., Buske, F. A., Frith, M., Grant, C. E., Clementi, L., Ren, J., Li, W. W., & Noble, W. S. (2009). MEME SUITE: Tools for motif discovery and searching. *Nucleic Acids Research*, 37, W202-W208. doi: [10.1093/nar/gkp335](https://doi.org/10.1093/nar/gkp335).
- Bolser, D., Staines, D. M., Pritchard, E., & Kersey, P. (2016). Ensembl plants: integrating tools for visualizing, mining, and analyzing plant genomics data. *Plant Bioinformatics: Methods & Protocols*, 1374, 115-140. doi: [10.1007/978-1-4939-3167-5_6](https://doi.org/10.1007/978-1-4939-3167-5_6).
- Borrill, P., Ramirez-Gonzalez, R., & Uauy, C. (2016). ExpVIP: A customizable RNA-seq data analysis and visualization platform. *Plant Physiology*, 170(4), 2172-2186. doi: [10.1104/pp.15.01667](https://doi.org/10.1104/pp.15.01667).
- Cannon, S. B., Mitra, A., Baumgarten, A., Young, N. D., & May, G. (2004). The roles of segmental and tandem gene duplication in the evolution of large gene families in *Arabidopsis thaliana*. *BMC Plant Biology*, 4, 10. doi: [10.1186/1471-2229-4-10](https://doi.org/10.1186/1471-2229-4-10).
- Chen, C., Wu, Y., Li, J., Wang, X., Zeng, Z., Xu, J., Liu, Y., Feng, J., Chen, H., & He, Y. (2023). TBtools-II: A “one for all, all for one” bioinformatics platform for biological big-data mining. *Molecular Plant*, 16(11), 1733-1742. doi: [10.1016/j.molp.2023.09.010](https://doi.org/10.1016/j.molp.2023.09.010).
- Chen, L., Meng, J., He, X. L., Zhang, M., & Luan, Y. S. (2019). Solanum lycopersicum microRNA1916 targets multiple target genes and negatively regulates the immune response in tomato. *Plant, Cell & Environment*, 42(4), 1393-1407. doi: [10.1111/pce.13468](https://doi.org/10.1111/pce.13468).
- Dobritsa, A. A., Nishikawa, S.-I., Preuss, D., Urbanczyk-Wochniak, E., Sumner, L. W., Hammond, A., Carlson, A. L., & Swanson, R. J. (2009). LAP3, a novel plant protein required for pollen development, is essential for proper exine formation. *Sexual Plant Reproduction*, 22(3), 167-177. doi: [10.1007/s00497-009-0101-8](https://doi.org/10.1007/s00497-009-0101-8).
- Fabbri, M., Delp, G., Schmidt, O., & Theopold, U. (2000). Animal and plant members of a gene family with similarity to alkaloid-synthesizing enzymes. *Biochemical & Biophysical Research Communications*, 271(1), 191-196. doi: [10.1006/bbrc.2000.2598](https://doi.org/10.1006/bbrc.2000.2598).
- Facchini, P. J., Bird, D. A., & St-Pierre, B. (2004). Can *Arabidopsis* make complex alkaloids? *Trends in Plant Science*, 9, 116-122. doi: [10.1016/j.tplants.2004.01.004](https://doi.org/10.1016/j.tplants.2004.01.004).
- Giraldo, P., Benavente, E., Manzano-Agugliaro, F., & Gimenez, E. (2019). Worldwide research trends on wheat and barley: A bibliometric comparative analysis. *Agronomy*, 9, 352. doi: [10.3390/agronomy9070352](https://doi.org/10.3390/agronomy9070352).
- Gu, L., Cao, Y., Chen, X., Wang, H., Zhu, B., Du, X., & Sun, Y. (2023). The genome-wide identification, characterization, and expression analysis of the strictosidine synthase-like family in maize (*Zea mays* L.). *International Journal of Molecular Sciences*, 24, 14733. doi: [10.3390/ijms241914733](https://doi.org/10.3390/ijms241914733).

- Guo, J., Wu, J., Ji, Q., Wang, C., Luo, L., Yuan, Y., Wang, Y., & Wang, J. (2008). Genome-wide analysis of heat shock transcription factor families in rice and *Arabidopsis*. *Journal of Genetics & Genomics*, 35, 105-118. doi: [10.1016/S1673-8527\(08\)60016-8](https://doi.org/10.1016/S1673-8527(08)60016-8).
- Hernandez-Garcia, C. M., & Finer, J. J. (2014). Identification and validation of promoters and cis-acting regulatory elements. *Plant Science*, 217, 109-119. doi: [10.1016/j.plantsci.2013.12.007](https://doi.org/10.1016/j.plantsci.2013.12.007).
- Hicks, M. A., Barber, A. E., & Babbitt, P. C. (2013). The Nucleophilic Attack Six-Bladed β -Propeller (N6P) Superfamily. In: Orengo, C., & Bateman, A. (Eds.). Protein Families: Relating Protein Sequence, Structure, and Function. Wiley Online Library. pp. 125-158. doi: [10.1002/9781118743089.ch6](https://doi.org/10.1002/9781118743089.ch6).
- Hicks, M. A., Barber, A. E., Giddings, L. A., Caldwell, J., O'connor, S. E., & Babbitt, P. C. (2011). The evolution of function in strictosidine synthase-like proteins. *Proteins: Structure, Function, & Bioinformatics*, 79(11), 3082-3098. doi: [10.1002/prot.23135](https://doi.org/10.1002/prot.23135).
- Jan, R., Asaf, S., Numan, M., Lubna, & Kim, K.-M. (2021). Plant secondary metabolite biosynthesis and transcriptional regulation in response to biotic and abiotic stress conditions. *Agronomy*, 11(5), 968. doi: [10.3390/agronomy11050968](https://doi.org/10.3390/agronomy11050968).
- Kibble ,N. A., Sohani, M. M., Shirley, N., Byrt, C., Roessner, U., Bacic, A., Schmidt, O., & Schultz, C. J. (2009). Phylogenetic analysis and functional characterisation of strictosidine synthase-like genes in *Arabidopsis thaliana*. *Functional Plant Biology*, 36, 1098-1109. doi: [10.1071/FP09104](https://doi.org/10.1071/FP09104).
- Kumar, S., Stecher, G., & Tamura, K. (2016). MEGA7: Molecular evolutionary genetics analysis version 7.0 for bigger datasets. *Molecular Biology & Evolution*, 33(7), 1870-1874. doi: [10.1093/molbev/msw054](https://doi.org/10.1093/molbev/msw054).
- Kutchan, T., Hampp, N., Lottspeich, F., Beyreuther, K., & Zenk, M. (1988). The cDNA clone for strictosidine synthase from *Rauvolfia serpentina* DNA sequence determination and expression in *Escherichia coli*. *FEBS Letters*, 237, 40-44. doi: [10.1016/0014-5793\(88\)80167-4](https://doi.org/10.1016/0014-5793(88)80167-4).
- Lescot, M., Déhais, P., Thijs, G., Marchal, K., Moreau, Y., Van De Peer, Y., Rouzé, P., & Rombauts, S. (2002). PlantCARE, a database of plant cis-acting regulatory elements and a portal to tools for in silico analysis of promoter sequences. *Nucleic Acids Research*, 30(1), 325-327. doi: [10.1093/nar/30.1.325](https://doi.org/10.1093/nar/30.1.325).
- Letunic, I., & Bork, P. (2018). 20 years of the SMART protein domain annotation resource. *Nucleic Acids Research*, 46(D1), D493-D496. doi: [10.1093/nar/gkx922](https://doi.org/10.1093/nar/gkx922).
- Liu, H., Lyu, H. M., Zhu, K., Van De Peer, Y., & Cheng, Z. M. (2021). The emergence and evolution of intron-poor and intronless genes in intron-rich plant gene families. *The Plant Journal*, 105, 1072-1082. doi: [10.1111/tpj.15088](https://doi.org/10.1111/tpj.15088).
- Liu, M., Dong, H., Wang, M., & Liu, Q. (2020). Evolutionary divergence of function and expression of laccase genes in plants. *Journal of Genetics*, 99, 1-16. doi: [10.1007/s12041-020-1184-0](https://doi.org/10.1007/s12041-020-1184-0).
- Magwanga, R. O., Lu, P., Kirungu, J. N., Lu, H., Wang, X., Cai, X., Zhou, Z., Zhang, Z., Salih, H., & Wang, K. (2018). Characterization of the late embryogenesis abundant (LEA) proteins family and their role in drought stress tolerance in upland cotton. *BMC Genetics*, 19, 6. doi: [10.1186/s12863-017-0596-1](https://doi.org/10.1186/s12863-017-0596-1).
- Qanmber, G., Liu, J., Yu, D., Liu, Z., Lu, L., Mo, H., Ma, S., Wang, Z., & Yang, Z. (2019). Genome-wide identification and characterization of the PERK gene family in *Gossypium hirsutum* reveals gene duplication and functional divergence. *International Journal of Molecular Sciences*, 20, 1750. doi: [10.3390/ijms20071750](https://doi.org/10.3390/ijms20071750).
- Sarcheshmeh, M. K., Abedi, A., & Aalami, A. (2023). Genome-wide survey of catalase genes in *Brassica rapa*, *Brassica oleracea*, and *Brassica napus*: Identification, characterization, molecular evolution, and expression profiling of BnCATs in response to salt and cadmium stress. *Protoplasma*, 260, 899-917. doi: [10.1007/s00709-022-01822-6](https://doi.org/10.1007/s00709-022-01822-6).
- Sievers, F., & Higgins, D. G. (2014). Clustal omega. *Current Protocols in Bioinformatics*, 48, 313. doi: [10.1002/0471250953.bi0313s48](https://doi.org/10.1002/0471250953.bi0313s48).
- Smedley, D., Haider, S., Ballester, B., Holland, R., London, D., Thorisson, G., & Kasprzyk, A. (2009). BioMart—biological queries made easy. *BMC Genomics*, 10, 1-12. doi: [10.1186/1471-2164-10-22](https://doi.org/10.1186/1471-2164-10-22).
- Sohani, M., Schenk, P., Schultz, C., & Schmidt, O. (2009). Phylogenetic and transcriptional analysis of a strictosidine synthase-like gene family in *Arabidopsis thaliana* reveals involvement in plant defence responses. *Plant Biology*, 11, 105-117. doi: [10.1111/j.1438-8677.2008.00139.x](https://doi.org/10.1111/j.1438-8677.2008.00139.x).
- Theopold, U., Samakovlis, C., Erdjument-Bromage, H., Dillon, N., Axelsson, B., Schmidt, O., Tempst, P., & Hultmark, D. (1996). Helix pomatia lectin, an inducer of *Drosophila* immune

- response, binds to hemomucin, a novel surface mucin. *Journal of Biological Chemistry*, 271, 12708-12715. doi: [10.1074/jbc.271.22.12708](https://doi.org/10.1074/jbc.271.22.12708).
- Wang, R., Zhao, W., Yao, W., Wang, Y., Jiang, T., & Liu, H. (2023a). Genome-wide analysis of strictosidine synthase-like gene family revealed their response to biotic/abiotic stress in poplar. *International Journal of Molecular Sciences*, 24(12), 10117. doi: [10.3390/ijms241210117](https://doi.org/10.3390/ijms241210117).
- Wang, T., Song, H., Zhang, B., Lu, Q., Liu, Z., Zhang, S., Guo, R., Wang, C., Zhao, Z., & Liu, J. (2018). Genome-wide identification, characterization, and expression analysis of superoxide dismutase (SOD) genes in foxtail millet (*Setaria italica* L.). *3 Biotech*, 8(12), 486. doi: [10.1007/s13205-018-1502-x](https://doi.org/10.1007/s13205-018-1502-x).
- Wang, Y., Ruan, Q., Zhu, X., Wang, B., Wei, B., & Wei, X. (2023b). Identification of alfalfa *SPL* gene family and expression analysis under biotic and abiotic stresses. *Scientific Reports*, 13, 84. doi: [10.1038/s41598-022-26911-7](https://doi.org/10.1038/s41598-022-26911-7).
- Wu, X., Zhou, C., Li, X., Lin, J., Aguilera, L. C. R., Wen, F., & Wang, L. (2023). Genome-wide identification and immune response analysis of mitogen-activated protein kinase cascades in tea geometrid, *Ectropis griseascens* Warren (Geometridae, Lepidoptera). *BMC Genomics*, 24, 344. doi: [10.1186/s12864-023-09446-7](https://doi.org/10.1186/s12864-023-09446-7).
- Xu, G., Guo, C., Shan, H., & Kong, H. (2012). Divergence of duplicate genes in exon–intron structure. *Proceedings of the National Academy of Sciences*, 109, 1187-1192. doi: [10.1073/pnas.1109047109](https://doi.org/10.1073/pnas.1109047109).
- Yamazaki, Y., Urano, A., Sudo, H., Kitajima, M., Takayama, H., Yamazaki, M., Aimi, N., & Saito, K. (2003). Metabolite profiling of alkaloids and strictosidine synthase activity in camptothecin producing plants. *Phytochemistry*, 62(3), 461-470. doi: [10.1016/S0031-9422\(02\)00543-5](https://doi.org/10.1016/S0031-9422(02)00543-5).
- Yan, F., Zhou, H., Yue, M., Yang, G., Li, H., Zhang, S., & Zhao, P. (2019). Genome-wide identification and transcriptional expression profiles of the F-box gene family in common walnut (*Juglans regia* L.). *Forests*, 10(3), 275. doi: [10.3390/f10030275](https://doi.org/10.3390/f10030275).
- Yoshida, S., Ito, M., Nishida, I., & Watanabe, A. (2001). Isolation and RNA gel blot analysis of genes that could serve as potential molecular markers for leaf senescence in *Arabidopsis thaliana*. *Plant & Cell Physiology*, 42(2), 170-178. doi: [10.1093/pcp/pce021](https://doi.org/10.1093/pcp/pce021).
- Yoshioka, Y., Suzuki, G., Zayasu, Y., Yamashita, H., & Shiznato, C. (2022). Comparative genomics highlight the importance of lineage-specific gene families in evolutionary divergence of the coral genus, *Montipora*. *BMC Ecology & Evolution*, 22, 71. doi: [10.1186/s12862-022-02023-8](https://doi.org/10.1186/s12862-022-02023-8).
- Yu, J., Yuan, Y., Dong, L., & Cui, G. (2023). Genome-wide investigation of NLP gene family members in alfalfa (*Medicago sativa* L.): Evolution and expression profiles during development and stress. *BMC genomics*, 24, 320. doi: [10.1186/s12864-023-09418-x](https://doi.org/10.1186/s12864-023-09418-x).
- Yuan, Y., Yin, X., Han, X., Han, S., Li, Y., Ma, D., Fang, Z., Yin, J., & Gong, S. (2023). Genome-wide identification, characterization and expression analysis of the *TaDUF724* gene family in wheat (*Triticum aestivum*). *International Journal of Molecular Sciences*, 24(18), 14248. doi: [10.3390/ijms241814248](https://doi.org/10.3390/ijms241814248).
- Zhang, L., Li, S., Fang, X., An, H., & Zhang, X. (2023). Genome-wide analysis of LysM gene family members and their expression in response to *Colletotrichum fructicola* infection in Octoploid strawberry (*Fragaria ananassa*). *Frontiers in Plant Science*, 13, 1105591. doi: [10.3389/fpls.2022.1105591](https://doi.org/10.3389/fpls.2022.1105591).
- Zou, T., Li, S., Liu, M., Wang, T., Xiao, Q., Chen, D., Li, Q., Liang, Y., Zhu, J., & Liang, Y. (2017). An atypical strictosidine synthase, *OsSTR2L2*, plays key roles in anther development and pollen wall formation in rice. *Scientific Reports*, 7, 6863. doi: [10.1038/s41598-017-07064-4](https://doi.org/10.1038/s41598-017-07064-4).